

# SP F-함수를 갖는 4-브랜치 GFN-2 구조에 대한 기지기 공격\*

홍 득 조<sup>† ‡</sup>  
전북대학교 (교수)

## Known-Key Attacks on 4-Branch GFN-2 Structures with SP F-Functions\*

Deukjo Hong<sup>† ‡</sup>  
Jeonbuk National University (Professor)

### 요 약

본 논문에서는 SP 구조의 F-함수를 가진 4-브랜치 GFN-2 구조에 대한 기지기 구별 공격(Known-Key Distinguishing Attack) 및 부분 충돌 공격(Partial-Collision Attack)을 연구한다. 첫 번째로, 이 구조에 대해 기지기 구별 공격이 15 라운드까지 가능성이 밝혀진다. 두 번째로, 마지막 라운드에 셔플 연산이 있는 경우, 부분 충돌 공격이 14 라운드까지 가능성이 밝혀진다. 마지막으로, 마지막 라운드에 셔플 연산이 없는 경우, 부분 충돌 공격이 15 라운드까지 가능성이 밝혀진다.

### ABSTRACT

In this paper, we study known-key distinguishing and partial-collision attacks on GFN-2 structures with SP F-functions and various block lengths. Firstly, we show the known-key distinguishing attack is possible up to 15 rounds. Secondly, for the case that the last round function has the shuffle operation, we show that the partial-collision attack is possible up to 14 rounds. Finally, for the case that the last round function has no shuffle operation, we show that the partial-collision attacks are possible up to 11 rounds.

**Keywords:** Generalized Feistel Network, Known-Key Attack, Partial-Collision Attack

## 1. 서 론

기지기 공격(Known-Key Attack)의 개념은 2007년에 Rijmen과 Knudsen이 처음으로 제시하였다[1]. 이 공격은 공격자가 블록암호의 키 입력

값을 알고 있을 때, 어떤 평문-암호문 블록 집합에 대해 균등(Uniform) 확률 보다 높은 확률로 성립할 수 있는 기지기 구별자(Known-Key Distinguisher)를 이용한다. 2011년에 Sasaki와 Yasuda는 F-함수가 암호학적으로 강한 S-box와 MDS 행렬로 구성된 Feistel 네트워크에 대하여 리바운드 기법[9]을 이용해 기지기 구별자들을 구성하였고, 이를 사용하여 블록암호의 해시모드에 대한 충돌 공격(Collision Attack) 또는 부분 충돌 공격(Partial-Collision Attack)이 가능성을 보였다 [2] 부분 충돌(Partial Collision 또는 Near Collision)이란, 해시값의 일부에서만 충돌이 발생하는 현상을 의미함). 이 후, 그들의 결과는

Received(09. 15. 2020), Modified(10. 08. 2020), Accepted(10. 08. 2020)

\* This work was supported by Institute of Information communications Technology Planning Evaluation(IITP) grant funded by the Korea government(MSIT) (No. B0722-16-0006, Cross layer design of cryptography and physical layer security for IoT networks)

† 주저자, [deukjo.hong@jbnu.ac.kr](mailto:deukjo.hong@jbnu.ac.kr)

‡ 교신저자, [deukjo.hong@jbnu.ac.kr](mailto:deukjo.hong@jbnu.ac.kr)(Corresponding author)

Feistel 네트워크의 변종 구조들에 응용되었다 [3,4,5].

Feistel 구조는 블록암호 DES(6)나 SEED(8)에 적용된 것으로 잘 알려져있으며, 안정적이고 효율적인 블록암호 설계를 위한 주요 연구 대상이 되어왔다. Feistel 변종 구조 중 하나인 GFN-2(Type-2 Generalized Feistel Network)는 같은 블록 길이를 갖는 Feistel 구조에 비해 라운드 함수를 경량으로 설계할 수 있고, 다른 타입에 비해 균형감 있는 암호화 연산을 수행하기 때문에 Feistel 네트워크의 대안 중 하나로서 많이 연구되어 왔고 블록암호 개발 시 자주 고려되는 구조이다. 실제로 블록암호 CLEFIA(7)에 적용되었으며, S-box가 사용되지 않고 ARX 연산으로 구성된 블록암호 HIGHT(10)에도 매우 유사한 구조가 설계에 응용되었다. 그러므로, 블록암호의 다양한 응용성을 고려할 때, GFN-2 구조의 안전성에 대한 연구는 중요하다.

본 논문에서는 매개변수  $(t, a, b)$ 를 이용하여 SP 구조의 F-함수를 가진 GFN-2 구조를 정의한다.  $t$ 는 브랜치의 개수,  $a$ 는 F-함수를 구성하는 S-box의 개수,  $b$ 는 S-box의 입출력 크기이다. 바이트의 길이는  $b$  비트, 워드의 길이는  $ab$  비트로 정의한다. 매개변수 값  $(t, a, b)$ 를 갖는 GFN-2 구조 블록암호의 블록 길이는  $abt$  비트이다. 본 논문에서는  $(a, b)$ 의 값을  $(4, 4)$ ,  $(4, 8)$ ,  $(8, 4)$ ,  $(8, 8)$ 로,  $t$ 의 값을 4로 제한하는데, 이것들은 실제 블록암호 또는 해시함수 설계에서 주로 사용되거나 고려되는 것들이다.

2012년, [3]에서는 GFN-1, GFN-2, GFN-3에 대한 기지키 공격을 연구하였는데, 모두 SP 구조 F-함수와 4개의 브랜치로 구성되어 있으며, 마지막 라운드에 셔플 연산이 없다고 가정하였다. 이러한 가정에서 GFN-2에 대한 13-라운드 기지키 구별 공격을 제시하였다. 또한, Matyas-Meyer-Oseas(MMO) 또는 Miyaguchi-Preneel(MP) 해시 운영모드가 적용되었다는 가정에서 9 라운드에 대해 1-워드 부분 충돌 공격 및 2-워드 부분 충돌 공격을 제시하였다. 2015년에는 Dong 등이 동일한 가정이 적용된 4-브랜치 GFN-2 구조에 대해 15-라운드 기지키 구별 공격 및 11-라운드 부분 충돌 공격을 발표했으나, 해당 연구 결과는 공격 복잡도 계산에 오류가 있다. 이것에 대해서는 본 논문의 2.4절에서 설명된다.

본 논문에서는 SP F-함수로 구성되는 4-브랜치 GFN-2 구조에 대하여 개선된 기지키 구별 공격 및

부분 충돌 공격을 제시한다. 인바운드 구조를 구성하는 일반적인 방법을 설명하고, 해당 방법을 이용하여 5-라운드 인바운드 구조를 구성하였다. 이 5-라운드 인바운드 구조를 기반으로, 공격 복잡도를 정밀하게 계산함으로써 아래와 같은 연구 결과들을 도출하였다.

- 15-라운드 기지키 구별 공격 제시
- 마지막 셔플 연산이 없을 때 11-라운드 3-워드 부분 충돌 공격이 가능하며,  $a = 8$  이면 15-라운드 1-워드 부분 충돌 공격이 가능함을 밝힘
- 마지막 셔플 연산이 있을 때 10-라운드 3-워드 부분 충돌 공격이 가능하며,  $a = 8$  이면 14-라운드 1-워드 부분 충돌 공격이 가능함을 밝힘

논문의 구성은 다음과 같다. 2절에서는 기존의 GFN-2, MMO와 MP 해시 운영 모드의 동작 방식, F-함수에 대한 인바운드 구조, 기존 연구 결과들을 설명한다. 3절에서는 GFN-2의 인바운드 구조에 필요한 차분 경로를 구성하는 방법을 설명한다. 4절에서는 4-브랜치 GFN-2에 대한 인바운드 구조, 기지키 구별자, 부분 충돌 공격들을 제시한다.

## II. 배경 지식

### 2.1 SP 구조 F-함수로 구성된 GFN-2 구조

$S: \{0, 1\}^b \rightarrow \{0, 1\}^b$  를  $b$ 비트의 입력과 출력을 갖는 비선형 전단사(Bijective) S-box라고 하자. 어떤  $b$ 비트 입력값  $X$ 에 대해 S-box  $S$ 가  $b$ 비트 출력값  $Y$ 를 가질 때  $Y = S(X)$ 로 표시한다. 선형함수  $P: (\{0, 1\}^b)^a \rightarrow (\{0, 1\}^b)^a$  를 유한체  $GF(2^b)$  상의  $a \times a$  MDS 행렬곱으로 정의되는 함수라고 하자. 어떤 입력 벡터  $(X[0], X[1], \dots, X[a-1])$ 에 대해  $P$ 가 출력 벡터  $(Y[0], Y[1], \dots, Y[a-1])$ 을 가질 때  $(Y[0], Y[1], \dots, Y[a-1]) = P(X[0], X[1], \dots, X[a-1])$ 로 표시한다. 이러한  $S$ 와  $P$ 에 대해, F-함수  $F: (\{0, 1\}^b)^{a \times a} \rightarrow (\{0, 1\}^b)^a$ 를 다음과 같이 정의할 수 있다: 입력값  $X = (X[0], X[1], \dots, X[a-1]) \in (\{0, 1\}^b)^a$ 과  $RK = (RK[0], RK[1], \dots, RK[a-1]) \in (\{0, 1\}^b)^a$ 에 대해,  $Y = F(X, RK) = P(S(X[0] \oplus RK[0]), S(X[1] \oplus RK[1]), \dots, S(X[a-1] \oplus RK[a-1]))$ . 여기서,  $\oplus$ 는 XOR (eXclusive OR) 연산을 의미한다. Fig.1에서  $a = 4$ 인 경우의 F-함수 연산 과정을 그림으로 이해할

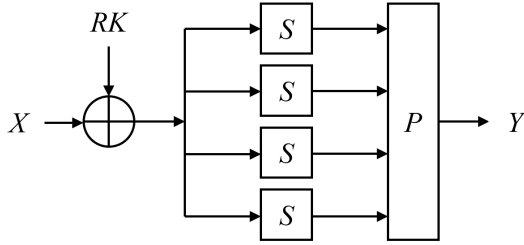


Fig. 1. Structure of F-function with a = 4

수 있다.

t를 어떤 짝수라고 하고, r을 어떤 양의 정수라고 하자.  $RK = (RK_{0,0}, \dots, RK_{0,t/2-1}, RK_{1,0}, \dots, RK_{r-1,t/2-1})$ 를 비밀키 K에 대해 블록암호의 키 스케줄 알고리즘이 생성하는 부분키들(Subkeys)의 벡터이며, 각  $RK_{i,j} = (RK_{i,j}(0), RK_{i,j}(1), \dots, RK_{i,j}(a-1))$ 는 길이가 a인 벡터이고, 각  $RK_{i,j}(u)$ 는 b비트 값이라고 하자. 셔플 연산  $\sigma$ 는  $\sigma = (\sigma(0), \sigma(1), \dots, \sigma(t-1)) = (t-1, 0, \dots, t-2)$ 로 정의된다.  $n = abt$  비트 입력 블록  $(X_{0,0}, X_{0,1}, \dots, X_{0,t-1})$ 에 대해, t개의 브랜치를 갖는 r-라운드 GFN-2 구조의 블록암호는 다음과 같이 출력 블록  $(X_{r,0}, X_{r,1}, \dots, X_{r,t-1})$ 을 계산한다:

```

for i = 0, ... r-1 do:
  for j = 0, ..., t-1 do:
    if j is even:
       $Y_j = X_{i,j}$ 
    else:
       $Y_j = X_{i,j} \oplus F(X_{i,j-1}, RK_{i,(j-1)/2})$ 
  for j = 0, ..., t-1 do:
     $X_{(i+1),\sigma(j)} = Y_j$ 
    
```

위의 의사코드에서 변수 i는 라운드 번호를 의미한다. Fig. 2는 GFN-2의 i번째 라운드를 보여준다. 본 논문에서는 키가 어떤 값으로 고정되어 있고 알려져있다고 가정하며, 공격의 설명에 영향을 미치지 않으므로 글의 간결성을 위해 부분키에 관한 기술을 생략한다. 예를 들어,  $F(X_{i,j-1}, RK_{i,(j-1)/2})$ 를 간단

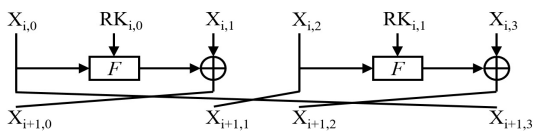


Fig. 2. i-th round of GFN-2 with t = 4

히  $F(X_{i,j-1})$ 로 표시한다.

### 2.2 F-함수의 인바운드 구조 ISF

차분(Difference)은 특정한 위치에서 서로 다른 두 값의 XOR이며, 차분 경로(Differential Trail)는 블록암호의 어떤 위치에서 또 다른 위치로 차분 값이 변화되는 과정을 기술한 것이다.

인바운드 구조(Inbound Structure)는 리바운드 공격에서 핵심적인 부분이다[9]. 이것은 블록암호의 특정 부분에서 설정된 어떤 차분 경로들을 만족시키는 입력쌍들의 집합이다. 인바운드 구조를 설명하기 위해 ab-비트 워드의 차분에 대한 표현 몇 가지를 다음과 같이 정의할 필요가 있다.

- 0: 모든 바이트가 0 차분을 가짐
- $\Delta_1$ : 한 바이트만 0이 아니고 나머지 바이트는 모두 0인 차분
- $\Delta_{P(1)}$ :  $\Delta_1$  형태의 차분이 P 함수를 통과한 이후의 차분. 즉,  $P(\Delta_1) = \Delta_{P(1)}$
- $\Delta_{P^{-1}(1)}$ :  $\Delta_1$  형태의 차분이 P 함수의 역함수  $P^{-1}$ 를 통과한 이후의 차분. 즉,  $P^{-1}(\Delta_1) = \Delta_{P^{-1}(1)}$

여기서 부분키들은 모두 어떤 값들로 고정되어있으며, S-box의 차분분포표(Difference Distribution Table)에서 0인 성분과 0이 아닌 성분의 비율이 거의 같다고 가정한다. 2.1 절에서 정의된 F-함수에 대해, 입력 차분은  $\Delta_{P(1)}$ 이고 출력 차분은  $\Delta_1$ 로 설정되어있다고 가정하자. 그러면 모든 가능한  $\Delta_{P(1)}$ 와  $\Delta_1$ 의 각 조합에 대해, F-함수의 모든 S-box는 0이 아닌 입력 차분과 출력 차분을 갖게 된다. 그러나, 차분분포표에 대한 가정에 의해 각 S-box의 입력 차분과 출력 차분의 조합은 확률 1/2로 유효하다. S-box의 유효한 입력 차분과 출력 차분 조합을 만족하는 입력쌍은 평균적으로 1개 존재한다. 따라서, 이와 같은 F-함수의 인바운드 구조 ISF(Inbound Structure of F-function)가 포함할 수 있는 입력쌍의 개수는  $(2^b-1)^2 \times (2^{-1})^a \times 2^a = (2^b-1)^2$ 이다.

예를 들어, Fig.3.에서와 같이 a = 4인 경우의 ISF를 살펴보자. F 함수의 출력 차분이 첫 번째 바이트에서만 0이 아니고 나머지 바이트에서는 모두 0이라고 하자. 즉, F 함수의 출력 차분은  $\Delta_1$ 의 형태를 갖는다. F 함수의 입력 차분은  $\Delta_{P(1)} = P(\Delta_1)$ 이라고 가정한다. 본질적으로는 F 함수의 입력 차분과

출력 차분에서 한 바이트만 0이 아니고 나머지 바이트는 모두 0인 형태가 고려되는 것이다. 그러한 F-함수의 입력 차분과 출력 차분의 조합은 모두  $(2^b-1)^2 \times 2^4$  개가 가능하다. 첫 번째 S-box의 입력쌍을  $(x_{0,0}, x_{0,1})$ , 그것에 대응되는 출력쌍을  $(y_{0,0}, y_{0,1})$ 이라고 하자. 그러면 첫 번째 S-box의 입력 차분은  $x_{0,0} \oplus x_{0,1} = \alpha_0$  이고, 출력 차분은  $y_{0,0} \oplus y_{0,1} = \beta_0$  이다. 마찬가지로 방법으로 두 번째, 세 번째, 네 번째 S-box의 입력쌍과 출력쌍을  $\{(x_{1,0}, x_{1,1}), (y_{1,0}, y_{1,1})\}$ ,  $\{(x_{2,0}, x_{2,1}), (y_{2,0}, y_{2,1})\}$ ,  $\{(x_{3,0}, x_{3,1}), (y_{3,0}, y_{3,1})\}$  이라고 하자. 그러므로, 네 S-box의 입력 차분이  $\alpha_0, \alpha_1, \alpha_2, \alpha_3$ 이고 출력 차분이  $\beta_0, \beta_1, \beta_2, \beta_3$ 일 때,

$$x_{i,0} \oplus x_{i,1} = \alpha_i \text{ and } y_{i,0} \oplus y_{i,1} = \beta_i$$

$$\text{for } i = 0, 1, 2, 3$$

이다. 그러면, 가능한 F-함수의 입력쌍의 조합은  $2^4$  가지이다. 그런데, F-함수의  $(\Delta_{P(1)}, \Delta_1)$  형태의 입력차분과 출력차분의 약  $(2^b-1)^2 \times 2^4$  개 조합이 가능하므로, ISF는 약  $(2^b-1)^2$  개의 입력쌍을 포함하게 된다.

S-box의 차분분포표는 미리 주어지며, 각 입력 차분과 출력 차분의 조합에 대해 어떤 입력 쌍이 가능한지도 포함한다고 가정하자. 그러면, ISF 생성에 소요되는 계산복잡도는 차분조합 유효성 대조 작업이 거의 대부분을 차지하고 F-함수는 a개의 S-box로 구성되므로 약  $a \times 2^{2b}$  번의 테이블 참조 즉,  $2^{2b}$  번의 F-함수 계산량과 거의 같다.

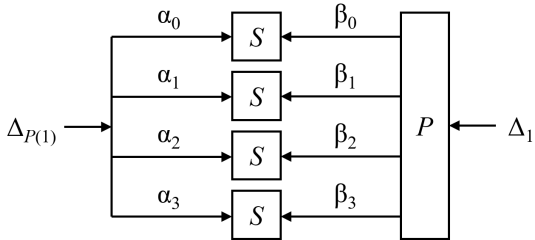


Fig. 3. Differences in the inbound structure of F-function with a = 4

### 2.3 Matyas-Meyer-Oseas 모드와 Miyaguchi-Preneel 모드

Matyas-Meyer-Oseas(MMO) 모드와 Miyaguc

hi-Preneel(MP) 모드는 블록암호를 1회 호출하여 Merkle-Damgard 해시 함수의 압축함수를 구성하는 안전한 12가지 PGV 모드에 속한다[12]. Fig.4에서 보듯이 이 두 모드는 공격자가 컨트롤할 수 없지만 알 수 있는 입력 연쇄변수(Input chaining variable) 값이 블록암호의 키가 되고 공격자가 컨트롤할 수 있는 메시지 블록(Message block) 값이 블록암호의 평문 블록(Plaintext block)이 되며, 블록암호의 암호문 블록(Ciphertext block)이 평문 블록 또는 키(Key)와 XOR되어 압축함수의 출력 연쇄변수(Output chaining variable) 값을 만들어낸다는 특징이 있다. 본 논문에서 설명하는 모든 부분 충돌 공격은 GFN-2 구조의 블록암호가 MMO 또는 MP 모드와 결합된 상황을 가정한다.

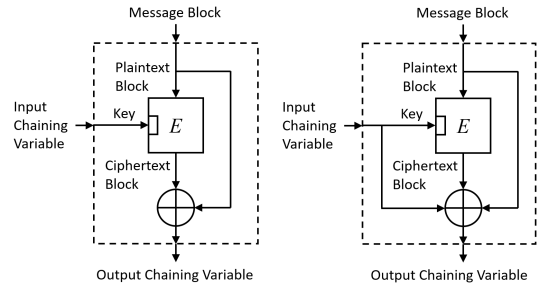


Fig. 4. Matyas-Meyer-Oseas(MMO) mode (Left) and Miyaguchi-Preneel(MP) mode (Right)

### 2.4 Dong 등의 공격

2015년에 Dong 등이 본 논문의 연구 대상인, SP구조 F-함수를 갖는 4-브랜치 GFN-2에 대한 15-라운드 기지키 구별자와 11-라운드에 대해 부분 충돌 공격을 제시하였다[11]. 또한, 독립적으로 연구된 것이지만 본 논문과 동일한 5-라운드 인바운드 구조를 구성하였다.

본 논문에서는 [11] 보다 GFN-2에 대한 더 다양한 공격 결과를 제시한다. [11]에서는 마지막 라운드 함수에 셔플 연산이 없는 경우에 대해서만 연구하였는데, 본 논문에서는 마지막 라운드에 셔플 연산이 없는 경우 F 함수가 8개의 S-box를 사용할 때에는 부분 충돌 공격도 15 라운드까지 가능함을 보인다. 또한, 본 논문에서는 마지막 라운드에 셔플 연산이 있는 경우에 대해서도 연구하였다. 해시 함수는 복호화 과정이 필요하지 않기 때문에 마지막 라운드 함수가 다른 라운드 함수와 동일하다는 점에서 본 논

문의 결과가 해시 함수 설계에 더 참고가 될 만하다.

본 논문에서는 [11]에 비해 공격 복잡도를 매우 정밀하게 계산하였기에 더 많은 결과를 제시할 수 있었던 것으로 보인다. 게다가, [11]에서는 2.2에서 설명되는 F-함수의 인바운드 구조를 구성하는 과정을  $2^{2b}$ 가 아닌  $2^b$ 로 계산하였고, 4절에서 설명되는 인바운드 구조의 구성 과정에서 파생되는 많은 복잡도를 무시함으로써 잘못 계산된 공격 복잡도를 제시하고 있다 ([11]의 Table 3). 이것은 공격의 가능성이 왜곡될 수 있는 중요한 문제이므로 실수 없이 정확하게 계산될 필요가 있다.

### III. GFN-2의 인바운드 구조 ISG2에 대한 차분 경로 구성 방법

4-브랜치 GFN-2의 각 라운드 입력 또는 출력은 네 개의 ab-비트 워드들로 구성되는 벡터이다. 이 벡터의 차분은 각 구성 요소에서 0,  $\Delta_1$ ,  $\Delta_{P(1)}$ , ? 중 하나의 형태를 갖게 된다. 이 논문에서는 입력 차분과 출력 차분이 가능한 한 최소의  $\Delta_1$  차분을 갖고 최대의 0 차분을 갖는 GFN-2의 인바운드 구조 ISG2 (Inbound Structure of GFN-2)만 다루는데, 그러한 차분 경로가 ISG2의 입력 차분으로부터 역방향으로, 출력 차분으로부터 정방향으로 차분 전파를 통해 가장 긴 구별 공격 및 부분 충돌 공격들을 만들어내기 때문이다. 그러한 ISG2에 적용될 수 있는 차분 경로를 구성하는 일반적인 방법은 다음과 같다.

- ① 구성하려는 ISG2의 라운드 수 R을 설정한다.
- ② ISF의 개수와 그것들을 적용할 F 함수 위치를 랜덤하게 선택하고, 각 선택된 F 함수의 입력 차분과 출력 차분을 각각  $\Delta_{P(1)}$ 과  $\Delta_1$ 로 설정한다.
- ③ ISF들로부터의 전파되는 0이 아닌 차분들을 0,  $\Delta_1$ ,  $\Delta_{P(1)}$  차분들을 이용하여 정방향과 역방향으로 최소화하도록 조정한다.
- ④ ISG2의 입력 차분과 출력 차분이 최소의  $\Delta_1$ 과 최대의 0을 갖는지 확인한다. 만약 그렇다면, 구성된 차분 경로를 출력한다: 그렇지 않다면, 단계 ②에서 다시 시작한다.

$\Delta_1$ ,  $P^{-1}(\Delta_{P(1)})$  형태에서 고려되는 0이 아닌 차분 바이트의 위치는 동일한 것으로 가정한다. 또한, F 함수에 입력되는 모든 서브키 값들은 알려져있고 고

Table 1. Hexadecimal representation for two consecutive words

	0	$\Delta_1$	$\Delta_{P(1)}$	?
0	0x0	0x1	0x2	0x3
$\Delta_1$	0x4	0x5	0x6	0x7
$\Delta_{P(1)}$	0x8	0x9	0xA	0xB
?	0xC	0xD	0xE	0xF

정되어 있다고 가정한다. 그래서 모든 설명에서 서브키 및 서브키 XOR의 표기를 생략한다.

본 논문에서 한 워드(ab 비트) 차분의 형태를 표시하기 위해 사용하는 기호는 '0', ' $\Delta_1$ ', ' $\Delta_{P(1)}$ ', '?' 네 가지 뿐이다. '?'는 차분이 어떤 형태인지 알 수 없음을 의미한다. 더 간결한 표현을 위해 이 기호들을 각각 두 비트의 이진수  $00_2$ ,  $01_2$ ,  $10_2$ ,  $11_2$ 에 대응시킨다. 그러면 연속된 두 워드의 차분 형태는 Table 1과 같이 한 자리 16진수에 대응시킬 수 있다.

### IV. 4-브랜치 GFN-2에 대한 공격

#### 4.1 5-라운드 인바운드 구조

4-브랜치 GFN-2에 대해 발견된 ISG2의 라운드 수를  $R = 5$ 로 설정하고, 3절에서 설명된 차분 경로 구성 방법을 적용하면 Fig.5와 같은 차분 경로를 구할 수 있다. 이것은 Table 1에 의해 16진수 벡터 (0x40, 0x81, 0x46, 0x91, 0x06, 0x10)로 표현될 수 있다. ISG2의 입력값은  $X_0 = (X_{0,0}, X_{0,1}, X_{0,2}, X_{0,3})$ 이고, i번째 라운드의 출력값은  $X_{i+1} = (X_{i+1,0}, X_{i+1,1}, X_{i+1,2}, X_{i+1,3})$ 이다 ( $i = 0, 1, 2, 3, 4$ ). 여기서, ISF가 고려되는 위치는  $X_{1,0}$ 와  $X_{3,0}$ 을 입력으로 갖는 F 함수이다.  $X_{i,j}$ 의 차분을  $\Delta X_{i,j}$ 라고 하자. 다음과 같은 과정을 통해 Fig.5의 차분 경로를 만족하는 쌍들을 찾아 ISG2를 구성할 수 있다.

- ①  $X_{1,0}$ 을 입력으로 갖는 F 함수에 대하여 ISF를 고려한다. 이 F 함수에 대해  $\Delta_{P(1)}$  형태의 입력 차분과  $\Delta_1$  형태의 출력 차분을 만족하는  $(2^b-1)^2 \cong 2^{2b}$  개의 쌍이 설정된다. 이것을 ISF-1로 표시한다.
- ② 단계 ①과는 독립적으로  $X_{3,0}$ 을 입력으로 갖는 F 함수에 대하여 ISF를 고려한다. 이 F 함수에 대해  $\Delta_{P(1)}$  형태의 입력 차분과  $\Delta_1$  형태의 출력 차

분을 만족하는  $(2^b-1)^2 \cong 2^{2b}$  개의 쌍이 설정된다. 이것을 ISF-2로 표시한다.

- ③  $X_{0,2}$ 를 랜덤하게 선택하여  $F(X_{0,2})$ 를 계산하고, ISF-1의 모든  $F(X_{1,0})$  값에 대하여  $X_{2,0}$  및  $F(X_{2,0})$ 을 계산한다.
- ④  $X_{4,0}(=X_{5,3})$ 을 랜덤하게 선택하여  $F(X_{4,0})$ 을 계산하고, ISF-2의 모든  $F(X_{3,0})$  값에 대하여  $X_{2,2}$  및  $F(X_{2,2})$ 를 계산한다.
- ⑤ ISF-1의 쌍  $(x_1, x_2)$ 로부터 계산되는  $\Delta F(X_{2,0})$  및  $\Delta X_{1,0}$ 에 대해, 그리고 ISF-2의 쌍  $(y_1, y_2)$ 로부터 계산되는  $\Delta X_{3,0}$  및  $\Delta F(X_{2,2})$ 에 대해,  $\Delta F(X_{2,0}) = \Delta X_{3,0}$  이고  $\Delta X_{1,0} = \Delta F(X_{2,2})$ 이면 그 쌍들을  $\{(x_1, y_1), (x_2, y_2)\}$ 와 같이 연결한다. 이렇게 연결된 쌍들을 새로운 테이블 ISF-(1,2)에 저장한다. 평균적으로, ISF-(1,2)는  $2^{2b}$ 개 쌍들을 포함한다.
- ⑥ ISF-(1,2)에 포함된 모든 쌍들에 대해  $F(X_{1,2})$ 와  $F(X_{0,0})$ 을 계산하여,  $\Delta F(X_{0,0}) \neq \Delta X_{1,0}$ 인 쌍은 버린다. 평균적으로  $2^b$ 개의 쌍이 살아남는다.
- ⑦ 살아남은 모든 쌍들에 대해  $F(X_{3,2})$ 와  $F(X_{4,2})$ 를 계산하여,  $\Delta F(X_{4,2}) \neq \Delta X_{3,0}$ 인 쌍은 버린다. 평균적으로 1개의 쌍이 살아남는다.
- ⑧ 살아남은 쌍들에 대해  $X_{0,1}, X_{0,3}, X_{5,0}, X_{5,2}$ 를 계산하고 ISG2에 포함시킨다.

고정된  $X_{0,1}, X_{5,3}$  값에 대해 위 5-라운드 ISG2는 평균적으로 1개의 쌍을 갖는다. 5-라운드 ISG2의 구성에 소요되는 계산 복잡도 T는  $9 \times 2^{2b}$  번의 F-함수 연산으로 추정된다. 이것을  $T \cong 9 \cdot 2^{2b}F$  로 표시하자. 이 값의 근거는 다음과 같다.

- 단계 ①, ②에서 두 개의 독립적인 ISF 구성. 그러나, 본질적으로 동일한 집합이 적용되므로 2.2절에서 설명되었듯이,  $2^{2b}$  번의 F-함수 연산
- 단계 ③  $\cong 2^{2b+1}F$  ( $\because F(X_{2,0})$   $2^{2b+1}$  번 계산)
- 단계 ④  $\cong 2^{2b+1}F$  ( $\because F(X_{2,2})$   $2^{2b+1}$  번 계산)
- 단계 ⑥  $\cong 2^{2b+2}F$  ( $\because F(X_{1,2})$   $2^{2b+1}$  번 계산,  $F(X_{0,0})$   $2^{2b+1}$  번 계산)
- 단계 ⑦  $\cong 2^{b+2}F$  ( $\because F(X_{3,2})$   $2^{b+1}$  번 계산,  $F(X_{4,2})$   $2^{b+1}$  번 계산)

즉, Fig.5를 만족시키는 한 개의 쌍을 얻기 위해 T만큼의 계산 복잡도가 소요된다. 그러므로,  $(X_{0,1}, X_{5,3})$ 를 N개 선택한다면, 이 5-라운드 ISG2는 N개

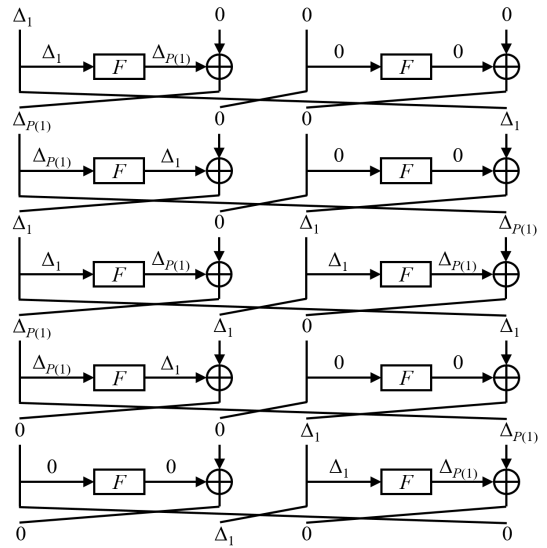


Fig. 5. Differential trail for the 5-round inbound structure of 4-branch GFN-2

의 쌍을 포함하며, 이것을 갖기 위한 계산 복잡도는 NT가 된다.

### 4.2 기지키 구별자

4.1절에서 설명된 ISG2를 중심으로 정방향과 역방향으로 차분을 전파시켜 Table 3과 같은 차분 트레일을 얻을 수 있다. 이 차분 트레일의 상태 변수 차분들은  $\Delta X_i = (\Delta X_{i,0}, \dots, \Delta X_{i,3})$ 으로 고려되는데, ISG2는  $\Delta X_0$ 부터  $\Delta X_5$ 까지, ISG2의 입력 차분으로부터 역방향 차분 전파는  $\Delta X_{-1}$ 부터  $\Delta X_{-5}$ 까지, 그리고 ISG2의 출력 차분으로부터 정방향 차분 전파는  $\Delta X_{+1}$ 부터  $\Delta X_{+5}$ 까지 표시된다. 리바운드 공격 (Rebound Attack)에서는 이것을 아웃바운드 페이즈(Outbound Phase)라고 한다. 아웃바운드 페이즈에서는 F-함수의 입력 차분 형태에 대해 출력 차분 형태가 Table 2와 같이 결정된다.

Table 3의 차분 트레일은  $0x_{FB} \rightarrow 0x_{EF}$ 와 같이 표현될 수 있다. Table 3에서 각  $X_{i,j}$ 의 차분 형태는  $\Delta X_{i,j}$ 로 표시된다. 이상적인 암호(Ideal Cipher)의 경우, 키 입력을 알고 있는 공격자가 이와 같은 형태의 차분 트레일을 만족하는 쌍을 적어도 하나 찾는데 필요한 계산 복잡도는 다음과 같이 계산된다. 공격자는  $2^b$ 개의 입력값들로  $(?, ?, \Delta_{P(1)}, ?)$  형태의 차분을 갖는 쌍들을 만들 수 있다. 먼저, 입력의  $\Delta_{P(1)} = P(\Delta_1)$  부분에서  $\Delta_1$ 의 0 아닌 바이트 부분

Table 2. Transition from input difference form to output difference form of F function

Input Diff.	Output Diff.
0	0
$\Delta_1$	$\Delta_{P(1)}$
$\Delta_{P(1)}$	?
?	?

Table 3. Difference propagation from 5-round inbound structure of 4-branch GFN-2

i	$\Delta X_{i,0}$	$\Delta X_{i,1}$	$\Delta X_{i,2}$	$\Delta X_{i,3}$
-5	?	?	$\Delta_{P(1)}$	?
-4	$\Delta_1$	$\Delta_{P(1)}$	?	?
-3	$\Delta_{P(1)}$	?	0	$\Delta_1$
-2	0	0	$\Delta_1$	$\Delta_{P(1)}$
-1	0	$\Delta_1$	0	0
0	$\Delta_1$	0	0	0
1	$\Delta_{P(1)}$	0	0	$\Delta_1$
2	$\Delta_1$	0	$\Delta_1$	$\Delta_{P(1)}$
3	$\Delta_{P(1)}$	0	0	$\Delta_1$
4	0	0	$\Delta_1$	$\Delta_{P(1)}$
5	0	$\Delta_1$	0	0
+1	$\Delta_1$	0	0	0
+2	$\Delta_{P(1)}$	0	0	$\Delta_1$
+3	?	0	$\Delta_1$	$\Delta_{P(1)}$
+4	?	$\Delta_1$	$\Delta_{P(1)}$	?
+5	?	$\Delta_{P(1)}$	?	?

에서 모든 값이 나타나고 0 바이트 부분에서는 상수이며, '?' 부분은 랜덤하게 선택되는  $2^b$ 개의 입력값들의 집합을 구성한다. 그러면, 이 집합은 약  $2^{2b-1}$  개의 쌍을 가지며 모든 쌍은 (?, ?,  $\Delta_{P(1)}$ , ?)의 차분 형태를 만족한다. 그리고 출력 차분이 (?,  $\Delta_{P(1)}$ , ?, ?) 형태가 될 확률은  $2^{-(a-1)b}$  이므로, 평균적으로 하나의 입력값 집합은  $2^{2b-1} \times 2^{-(a-1)b} = 2^{-(a+3)b-1}$  개의 쌍을 갖는다. 그런데, 실제 블록암호 설계에서  $a = 4$  또는  $8$  이기 때문에  $(-a+3)b-1$ 은 음수이다. 즉,  $1/2^{-(a+3)b-1} = 2^{(a-3)b+1}$  번을 반복하면 한 개의 쌍을 기대할 수 있다. 그러므로, 계산 복잡도는  $2^b \times 2^{(a-3)b+1} = 2^{(a-2)b+1}$  이다.

반면에, 4-브랜치 GFN-2 구조의 경우, 공격자가 동일한 조건에서 하나의 쌍을 찾는데 필요한 계산 복잡도는 5-라운드 ISG2 구성에 필요한 계산이 전부이며 한 번의 15-라운드 4-브랜치 GFN-2 연산은 30번의 F-함수 연산으로 구성되므로,  $9 \times 2^{2b}/30$ 이다.  $a = 4$  또는  $8$ 일 때, 아래 부등식과 같이 4-브랜치 GFN-2 구조에 대한 계산 복잡도가 이상적인 암호에 대한 것 보다 항상 작으므로  $0x\text{FB} \rightarrow 0x\text{E}$

F이 유효한 기지키 구별자임이 확인된다.

$$9 \times 2^{2b}/30 = 2^{2b-1.73} < 2^{(a-2)b+1}$$

단,  $a = 4$ 인 경우는  $a = 8$ 인 경우 보다 위 부등식의 좌변과 우변의 차이가 크지 않기 때문에 구별 공격의 어드벤처 또한 크지 않다.

이 구별 공격의 복잡도는 Table 4에 정리되었다. 구별 공격의 유효성은 마지막 라운드에서 셔플 연산 적용 유무와 관련이 없으나, Table 4에서는 편의상 마지막 라운드에 셔플 연산이 있는 쪽에 구별 공격 결과를 기술하였다.

### 4.3 부분 충돌 공격

Table 3으로부터 파생되는 부분 충돌 공격이 Table 4와 같이 정리된다. Table 4에서 'L'은 마지막 라운드의 셔플 연산을 의미하고, 해당 성분 값 'Y'는 마지막 셔플 연산이 있음을, 'N'은 마지막 셔플 연산이 없음을 의미한다. 즉, Table 4에서 상위 세 공격은 마지막 라운드의 셔플 연산이 있는 경우에 해당하고, 하위 두 공격에 대해서는 마지막 라운드의 셔플 연산이 없는 경우에 해당한다. 'R'은 공격되는 라운드 수를 의미한다. 'KKD'는 기지키 구별자를 의미하며 각 성분은 '(입력 차분 형태, 출력 차분 형태)'의 꼴로 표시하였다. 'w'는 부분 충돌 공격에서 충돌이 발생하는 워드의 개수를 의미한다. Table 4의 첫 번째 공격은 구별 공격이어서 이 영역을 '-'로 표시하였다. 'Comp.'는 공격에 필요한 복잡도를 의미하고 'Generic'은 해당 공격에 대응되는 이상적인 암호에 대한 구별 공격 복잡도 또는 생일 공격 복잡도를 의미한다. 마지막으로 '(a,b)'는 해당 공격을 유효하게 만드는 (a,b)값을 의미한다. 만일, (a,b) = (4,4), (4,8), (8,4), (8,8)에 대해 모두 공격이 유효하다면 해당 성분을 'all'로 표시한다.  $a = 8$ 일 때에만 공격이 유효하다면 해당 성분을 '(8,\*)'로 표시한다.

GFN-2 구조를 가진 블록암호에 MMO 또는 MP 해시 모드가 적용된다는 가정에서 이 부분 충돌 공격은 의미를 갖는다. 이 절에서 설명되는 공격들은 그러한 해시 함수에 대한 생일 공격 보다 더 효율적으로 부분 충돌 쌍을 찾기 때문이다.

Table 4의 두 번째 공격은 (?, ?,  $\Delta_{P(1)}$ , ?)  $\rightarrow$  (?,  $\Delta_1$ ,  $\Delta_{P(1)}$ , ?) 또는 ( $\Delta_1$ ,  $\Delta_{P(1)}$ , ?, ?)  $\rightarrow$  (?,  $\Delta_{P(1)}$ , ?, ?)

Table 4. Known-key distinguishing and w-word partial-collision attacks on 4-branch GFN-2

L	R	KKDs	w	Comp.	Generic	(a, b)
Y	15	(0xFB, 0xEF)	-	$2^{2b-1.73}$	$2^{(a-2)b+1}$	all
	14	(0xFB, 0xDB), (0x6F, 0xEF)	1	$2^{3b-1.63}$	$2^{ab/2}$	(8, *)
	10	(0xB1, 0x81), (0x06, 0xC6)	3	$2^{4b-1.15}$	$2^{3ab/2}$	all
N	15	(0xFB, 0xFB)	1	$2^{3b-1.73}$	$2^{ab/2}$	(8, *)
	11	(0xB1, 0x81)	3	$2^{4b-1.29}$	$2^{3ab/2}$	all

형태의 기지키 구별자를 이용하는데, ISG2의 쌍을  $2^b$ 개 시도하면 1개의 1-워드 부분충돌쌍을 기대할 수 있다. 이 공격은 14 라운드에 대한 것이므로, 공격 복잡도는 4.1절에서 설명된 복잡도에  $2^b$ 을 곱하고 14-라운드 4-브랜치 GFN-2를 구성하는 F-함수의 개수로 나누어 계산한다. 즉,  $2^b \times (9 \times 2^{2b}) / 28 = 2^{3b-1.63}$ 이다. 반면에, 출력값의 1개 워드에서 충돌을 발생시키는 쌍을 찾는 생일 공격의 복잡도는  $2^{ab/2}$ 이다.  $a = 8$ 일 때에만 이 공격이 유효하다. 왜냐하면 이 경우에만 공격 복잡도가 생일 공격 복잡도 보다 작기 때문이다.

Table 4의 세 번째 공격은  $(\Delta_{P(1)}, ?, 0, \Delta_1) \rightarrow (\Delta_{P(1)}, 0, 0, \Delta_1)$  또는  $(0, 0, \Delta_1, \Delta_{P(1)}) \rightarrow (?, ?, \Delta_1, \Delta_{P(1)})$  형태의 기지키 구별자를 이용하는데, ISG2의 쌍을  $2^{2b}$ 개 시도하면 1개의 3-워드 부분충돌쌍을 기대할 수 있다. 이 공격은 10 라운드에 대한 것이므로, 공격 복잡도는  $2^{2b} \times (9 \times 2^{2b}) / 20 = 2^{3b-1.15}$ 이다. 반면에, 출력값의 3개 워드에서 충돌을 이 공격에 대응되는 생일 공격의 복잡도는  $2^{3ab/2}$ 이다. 이 공격은 모든 (a, b) 값에 대해 유효하다.

Table 4의 네 번째와 다섯 번째 공격은 마지막 라운드의 셔플 연산이 없는 것으로 가정한 상황에서의 공격이며, 각각  $(?, ?, \Delta_{P(1)}, ?) \rightarrow (?, ?, \Delta_{P(1)}, ?)$ 와  $(\Delta_{P(1)}, ?, 0, \Delta_1) \rightarrow (\Delta_{P(1)}, 0, 0, \Delta_1)$  형태의 기지키 구별자를 이용한다. 4-브랜치 GFN-2 구조의 15 라운드가 30개의 F 함수 연산으로, 11 라운드가 22개의 F 함수 연산으로 구성된다는 점을 제외하고는 이전에 설명된 공격들의 복잡도와 유사하게 계산할 수 있다. 또한, 네 번째 공격이  $a = 8$ 일 때에만 유효하고 다섯 번째 공격은 모든 (a, b) 값에 대해 유효하다는 것도 쉽게 확인된다.

## V. 결 론

GFN-2 구조는 Feistel 구조에 비해 작은 입출력 길이를 가진 F-함수를 이용하여 블록암호를 설계할 수 있다는 장점이 있다. 그러므로, 블록암호의 다양한 응용성을 고려할 때, 이러한 GFN-2 구조의 안전성을 여러 가지 가정과 공격 모델을 고려하여 연구하는 것은 유용한 결과를 만들어낼 수 있다. 본 논문에서는 [3]에서 제시한 4-브랜치 GFN-2 구조에 대한 기지키 구별 공격 및 부분 충돌 공격 결과들을 개선했다.

향후에는, 브랜치의 개수가 4 보다 큰 GFN-2 구조에 대해서도 하여한 공격들에 대해서도 연구할 계획이다.

## References

- [1] Lars R. Knudsen and Vincent Rijmen, "Known-Key Distinguishers for Some Block Ciphers," ASIACRYPT 2007, LNCS 4833, pp. 315-324, Springer, 2007.
- [2] Yu Sasaki and Kan Yasuda, "Known-Key Distinguishers on 11-Round Feistel and Collision Attacks on Its Hashing Modes," FSE 2011, LNCS 6733, pp. 397-415, Springer, 2011.
- [3] HyungChul Kang, Deukjo Hong, Dukjae Moon, Daesung Kwon, Jaechul Sung, and Seokhie Hong, "Known-Key Attacks on Generalized Feistel Schemes with SP Round Function," IEICE Transactions on Fundamentals., Vol. 95-A, No. 9, pp. 1550-1560, 2012.
- [4] Yu Sasaki, Sareh Emami, Deukjo Hong, and Ashish Kumar, "Improved Known-Key Distinguishers on Feistel-SP Ciphers and Application to Camellia," ACISP 2012, LNCS 7372, pp. 87-100, Springer, 2012.
- [5] HyungChul Kang, Deukjo Hong, Jaechul Sung, and Seokhie Hong, "Known-Key Attack on SM4 Block Cipher," IEICE Transactions on Fundamentals., Vol. 100-A, No. 12, pp. 2985-2990, 2012.



- 017.
- [6] FIPS 46-3, Data Encryption Standard (DES), Oct. 25, 1999.
- [7] ISO/IEC 29192-2:2019, Information security – Lightweight cryptography – Part 2: Block ciphers, Nov. 2019.
- [8] ISO/IEC 18033-3:2010, Information technology – Security techniques – Encryption algorithms – Part 3: Block ciphers, Dec. 2010.
- [9] Florian Mendel, Christian Rechberger, Martin Schl affer, and S oren S. Thomsen, "The Rebound Attack: Cryptanalysis of Reduced Whirlpool and Gr ostl," FSE 2009, LNCS 5665, pp. 260-276, Springer, 2009.
- [10] Deukjo Hong, Jaechul Sung, Seokhie Hong, Jongin Lim, Sangjin Lee, Boseok Koo, Changhoon Lee, Donghoon Chang, Jesang Lee, Kitae Jeong, Hyun Kim, Jongsung Kim, and Seongtaek Chee, "HIGHT: A New Block Cipher Suitable for Low-Resource Device," CHES 2006, LNCS 4249, pp. 46-59, Springer, 2006.
- [11] L. Dong, Y. Wang, W. Wu, and J. Zhou, "Known-key distinguishers on 15-round 4-branch type-2 generalised Feistel networks with single substitution-permutation functions and near-collision attacks on its hashing modes," IET Information Security, 9(5): 277-283, 2015.
- [12] Alfred Menezes, Paul Oorschot, and Scott Vanstone, *Handbook of Applied Cryptography*, CRC Press, Oct. 1996.

### 〈저자소개〉



홍 득 조 (Deukjo Hong) 종신회원  
 1999년 8월: 고려대학교 수학과 학사  
 2001년 8월: 고려대학교 수학과 석사  
 2006년 2월: 고려대학교 정보보호대학원 박사  
 2006년 3월~2007년 12월: 고려대학교 정보보호기술연구센터 연구교수  
 2007년 12월~2015년 8월: 국가보안기술연구소 선임연구원  
 2015년 9월~현재: 전북대학교 IT정보공학과 부교수  
 <관심분야> 암호 알고리즘 설계 및 분석